



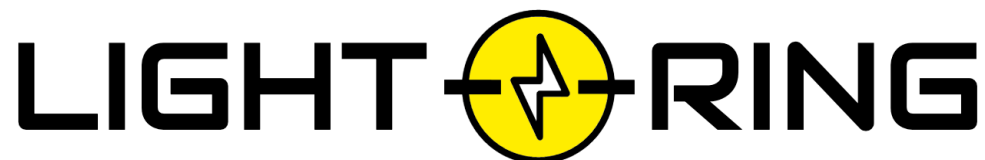
DEI 2022 @ SRCE

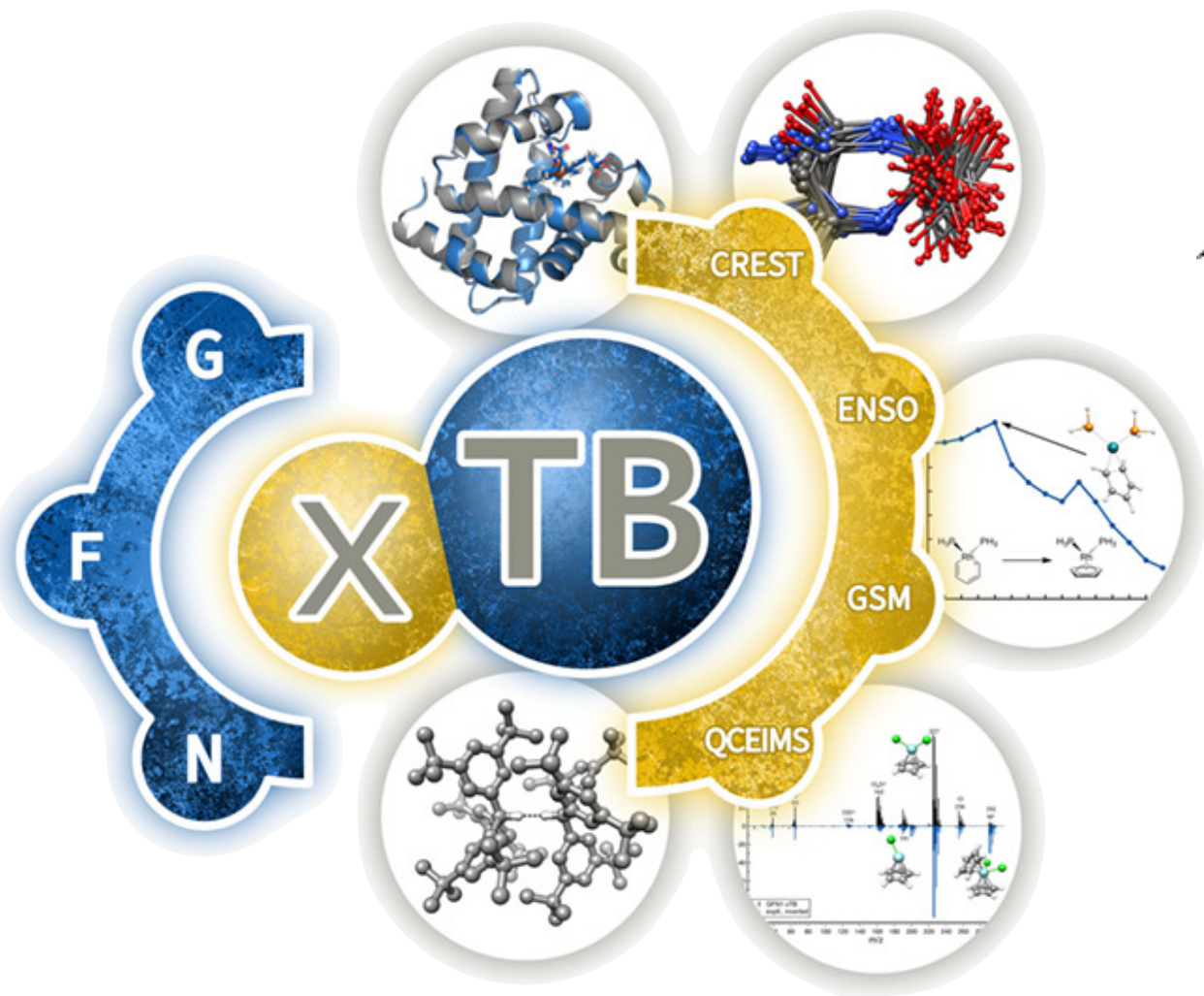
Kvantno-kemijski programi na klasteru Isabella

Rješavanje kemijskih problema upotrebom optimalnih metoda

doc. dr. sc. Davor Šakić

Sveučilište u Zagrebu Farmaceutsko-biokemijski fakultet

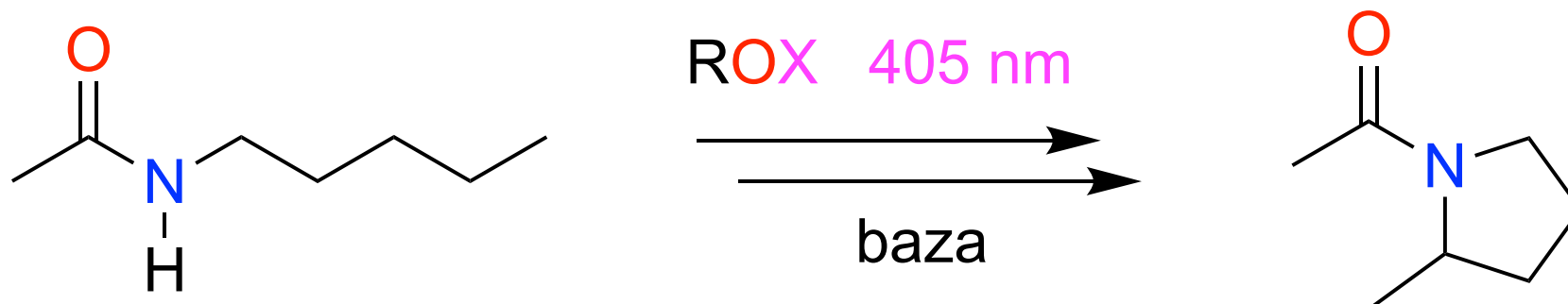


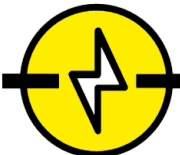


ORCA

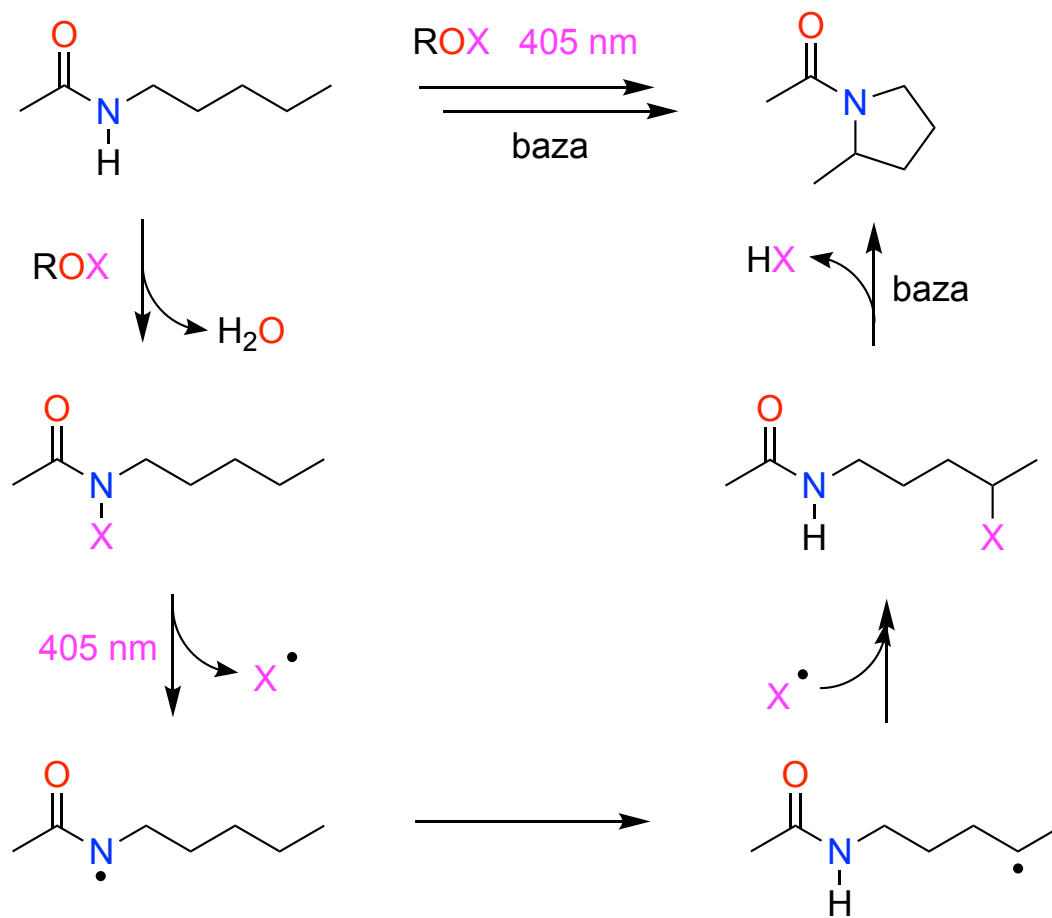


Hofmann-Löffler-Freytag reakcija

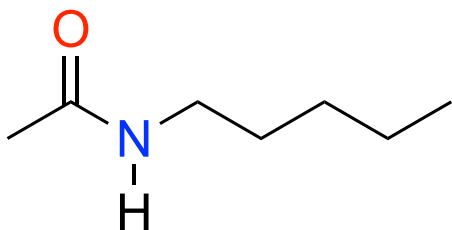


LIGHT  RING

Hofmann-Löffler-Freytag reakcija



Reaktant



CRTANJE!

- konformacijska analiza reaktanata
- Boltzmannova raspodjela
- tautomerne forme i ravnoteža
- utjecaj otapala - implicitno, eksplicitno, kombinirano
 - prva solvatacijska ljuska
 - ostale ljuske
- odabir odgovarajuće teorijske razine

CRTANJE

Avogadro



- besplatan
- interface s drugim programima
- uključeni FF optimizator
- vizualizacija orbitala/frekvencija
- konformacijska analiza



IQmol

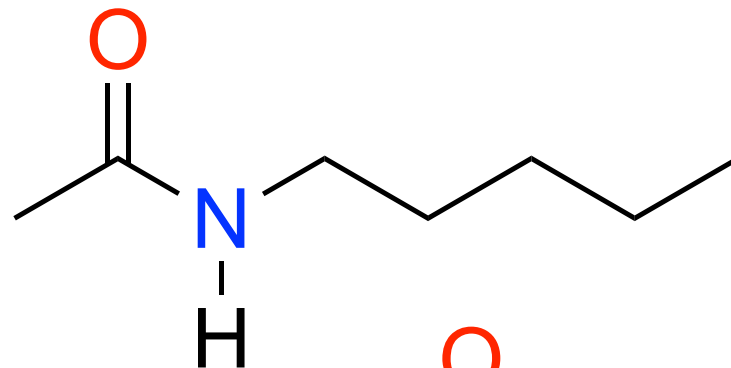
- besplatan
- uključeni FF optimizator
- direktno pokretanje računa QChem
- .xyz format



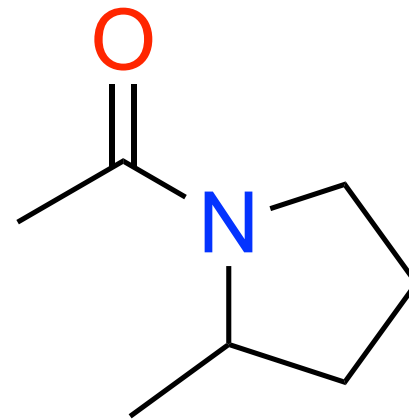
GAUSSVIEW

Crtanje molekula

N-pentilacetamid



2-metilpiridinilacetamid



Formati

.xyz

Broj atoma

Naslov/prazni red

Element x y z

Položaji u ang

```
24
N      2.47853    0.21632    0.04817
C      1.80729   -1.02331    0.41525
C      0.27138   -0.90081    0.40757
C     -0.40452   -0.19974    1.60585
C     -0.13598    1.30206    1.75733
C     -1.00658    1.90240    2.85924
C      3.24995    0.34913   -1.06774
O      3.41030   -0.58626   -1.83902
C      3.91446    1.66084   -1.36366
H      2.39153    1.03499    0.65793
H      2.16405   -1.38063    1.40468
H      2.05733   -1.81560   -0.32309
H     -0.11720   -1.94312    0.43902
H     -0.06444   -0.45524   -0.55404
H     -0.12845   -0.72263    2.54777
H     -1.49951   -0.32829    1.45423
H     -0.36186    1.82318    0.80187
H      0.91291    1.48012    2.05031
H     -2.08304    1.77534    2.61589
H     -0.79182    2.98780    2.95432
H     -0.79246    1.41114    3.83255
H      3.14369    2.45228   -1.47318
H      4.50268    1.60209   -2.30450
H      4.59809    1.92887   -0.53112
```

.pdb

.sdf

.com

.mol

Brza optimizacija i konformacijska analiza

- semi-empirijske metode

ime.xyz

- AM1, PM3, PM6

```
xtb ime.xyz -opt --chrg 0 --uhf 0 --namespace ime
```

- GFN-1, GFN-2

ime.xtbopt.xyz

```
xtb ime.xtbopt.xyz -hess --chrg 0 --uhf 0 --namespace ime.xtbopt
```

- CREST, MD, MTD

ime.xtbopt.g98.out

- GFN-FF

```
crest ime.xtbopt.xyz -T 4 --v4 --gfn2 --chrg 0 --uhf 0
```

- ENSO, CENSO, QCxMS

crest_conformers.xyz

Optimizacija

G16 i ORCA input

```
%nproc=4  
%mem=8gb  
%chk=ime.chk  
# opt freq b3lyp/SVP
```

ime.com

naslov

```
0 1  
A x.x y.y z.z
```

ime.script

```
#!/bin/sh  
#$ -N ime  
#$ -l memory=4  
#$ -cwd  
#$ -pe mpi 2  
#$ -o ime.out  
#$ -e ime.err  
export PATH=...  
dog16 ime
```

```
! B3LYP SV(P) OPT FREQ  
%pal nprocs 4 end  
%maxcore 8000  
* XYZ 0 1  
A x.x y.y z.z  
*
```

ime.inp

```
#!/bin/sh  
#$ -N ime  
#$ -o ime.err  
#$ -j Y  
#$ -l memory=8  
#$ -pe mpi 4  
#$ -cwd  
module load orca/5.0.3  
run-orca-isabella.sh ime.inp > ime.out
```

qsub ime.script

Odabir metoda i baznih skupova

Basis Set	Applies to	Polarization Functions	Diffuse Functions	Local and gradient	
					Hybrid functionals
3-21G	H-Xe		+	HFS	
6-21G	H-Cl	* or **		LDA or LSD	B1LYP
4-31G	H-Ne	* or **		VWN or VWN5	TPSS
6-31G	H-Kr	through (3df,3pd)	+,++	VWN3	wB97
6-311G	H-Kr	through (3df,3pd)	+,++	PWLDA	TPSSh
D95	H-Cl except Na and Mg	through (3df,3pd)	+,++	BP86 or BP	TPSS0
D95V	H-Ne	(d) or (d,p)	+,++	BLYP	wB97X-D3
SHC	H-Cl	*		OLYP	wB97X-D4
CEP-4G	H-Rn	* (Li-Ar only)		GLYP	
CEP-31G	H-Rn	* (Li-Ar only)		XLYP	M06L
CEP-121G	H-Rn	* (Li-Ar only)		PW91	M06
LanL2MB	H-La, Hf-Bi			mPWPW	wB97X-V
LanL2DZ	H, Li-La, Hf-Bi			mPWLYP	wB97X-D3BJ
SDD, SDDAll	all but Fr and Ra			PBE	M062X
cc-pVDZ	H-Ar, Ca-Kr	included in definition		RPBE	PW6B95
cc-pVTZ	H-Ar, Ca-Kr	included in definition		REVPBE	B97M-V
cc-pVQZ	H-Ar, Ca-Kr	included in definition		RPW86PBE	wB97M-D3BJ
cc-pV5Z	H-Ar, Ca-Kr	included in definition		PWP	B97M-D3BJ
cc-pV6Z	H, B-Ne	included in definition			wB97M-D4
SV	H-Kr				B97M-D4
SVP	H-Kr	included in definition			REVPBE38
TZV and TZVP	H-Kr	included in definition			BHANDHLYP
QZVP and Def2	H-La, Hf-Rn	included in definition			
MidiX	H, C-F, S-Cl, I, Br	included in definition			SCANfunc
EPR-II, EPR-III	H, B, C, N, O, F	included in definition			
UGBS	H-Lr	UGBS(1,2,3)P			
MTSmall	H-Ar				
DGDZVP	H-Xe				

Traženje prijelaznog stanja - iz nacrtane strukture

G16 i ORCA input

```
%nproc=4  
%mem=8gb  
%chk=ime.chk  
# opt=(calcfc,ts,noeigentest)  
freq b3lyp/SVP
```

ime.com

naslov

```
0 1  
A x.x y.y z.z
```

ime.script

```
! B3LYP SV(P) OPTTS FREQ  
%pal nprocs 4 end  
%maxcore 8000  
* XYZ 0 1  
A x.x y.y z.z  
*
```

ime.inp

qsub ime.script

Traženje prijelaznog stanja - iz reaktanata/produkata

G16 i ORCA input

```
%nproc=4  
%mem=8gb  
%chk=ime.chk  
# opt=(qst2) freq b3lyp/SVP
```

ime.com

reaktant

```
0 1  
A x.x y.y z.z
```

produkt

```
0 1  
A x.x y.y z.z
```

ime.script

```
%nproc=4  
%mem=8gb  
%chk=ime.chk  
# opt=(qst3) freq b3lyp/SVP
```

reaktant

```
0 1  
A x.x y.y z.z
```

produkt

```
0 1  
A x.x y.y z.z
```

TS

```
0 1  
A x.x y.y z.z
```

```
! B3LYP SV(P) NEB-TS FREQ  
%pal nprocs 4 end  
%maxcore 8000  
%NEB NEB_END_XYZFILE "produkt.xyz"  
END  
* XYZfile 0 1 reaktant.xyz
```

ime.inp

```
! B3LYP SV(P) NEB-TS FREQ  
%pal nprocs 4 end  
%maxcore 8000  
%NEB NEB_END_XYZFILE "produkt.xyz"  
NEB_TS_XYZFILE "mislitTS.xyz" END  
* XYZfile 0 1 reaktant.xyz
```

ime.script

U skripti obavezno navesti koji podaci i gdje se prebacuju

Traženje prijelaznog stanja - pretraživanje PES-a

G16 i ORCA input

```
%nproc=4  
%mem=8gb  
%chk=ime.chk  
# opt=(modredundant) b3lyp/SVP
```

naslov

```
0 1  
A x.x y.y z.z
```

```
B 1 2 S 15 -0.01
```

ime.com

ime.script

Brojanje atoma u ORCA-i ide od 0!

```
! B3LYP SV(P)  
! ScanTS  
%geom  
scan B 1 0 = 2.0, 1.0, 10 end  
end  
%pal nprocs 4 end  
%maxcore 8000  
* XYZ 0 1  
A x.x y.y z.z  
*
```

ime.inp

Više o skriptiranju
<https://tldp.org/LDP/abs/html/>

Traženje prijelaznog stanja:

cis/trans amid

amid/imid

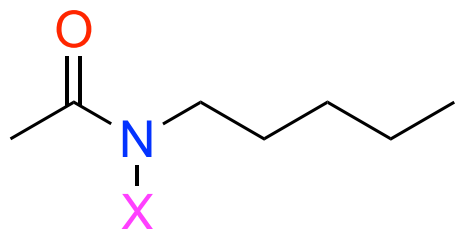
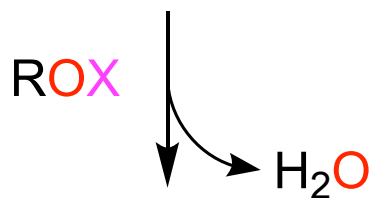
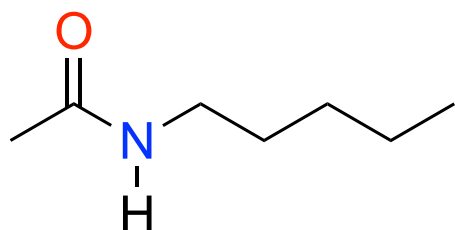
Karakterizacija minimuma

Energijski račun na zahtjevnijim metodama

G3B3

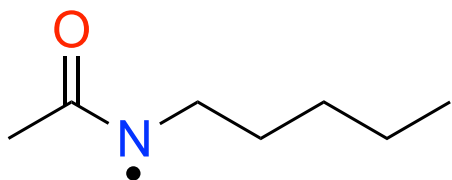
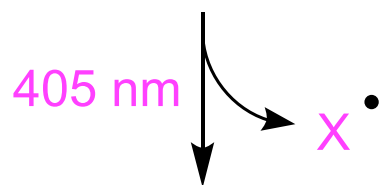
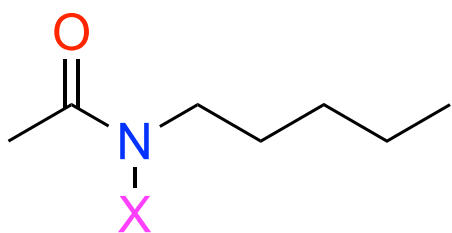
! DLPNO-CCSD(T) DEF2-TZVPP DEF2-TZVPP/C

Halogeniranje



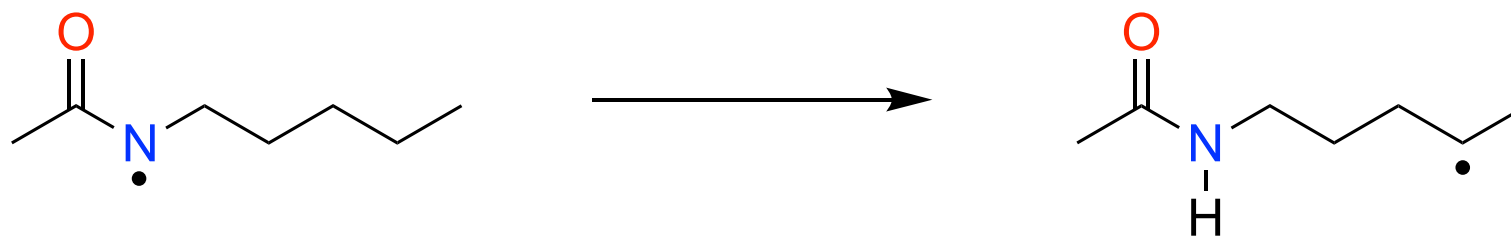
- određivanje reakcijskih parametara za HOCl
- prijelazno stanje kloriranja za amido i imido formu
- IRC računi
- globalni, lokalni minimumi
- termodinamika i kinetika reakcije
- promjena halogena
- promjena R-supstituenta (npr. AcOX)

Homolitičko cijepanje N-halogen veze



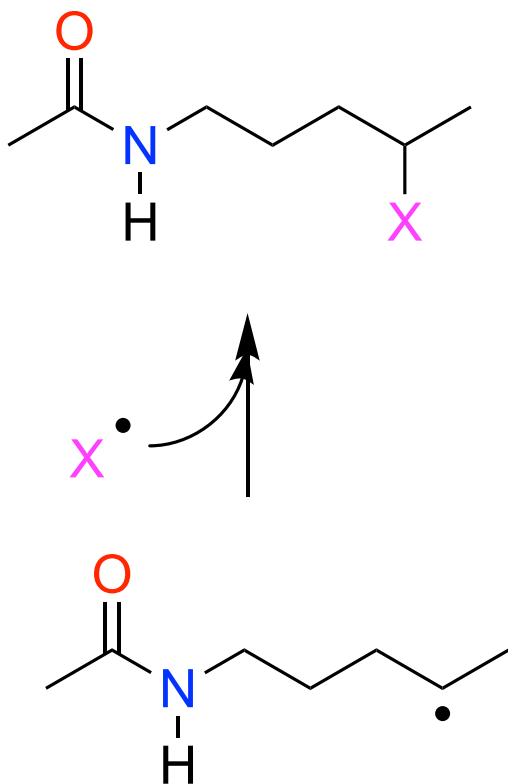
- skeniranje reakcijske koordinate
- plohe potencijalne energije
- singlet vs triplet
- elektronski prijelazi
- promjena redosljeda popunjavanja orbitala

Prijenos atoma vodika (HAT)



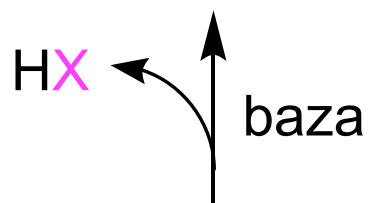
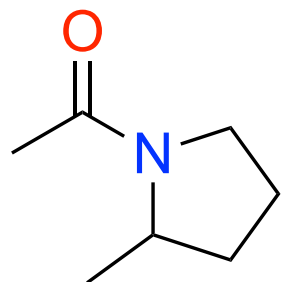
- stabilnost N- i C- radikala (termodinamika)
- određivanje kompeticijskih reakcija
 - 1,2-HAT, 1,3-HAT, 1,4-HAT i 1,5-HAT
- intra- vs inter-HAT (dodatni modelni sustavi)

Stvaranje C-halogen veze

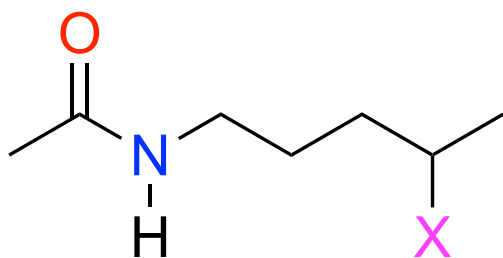


- skeniranje reakcijske koordinate
- plohe potencijalne energije
- singlet vs triplet
- elektronski prijelazi
- računanje spektara
 - IR, NMR/EPR, UV/Vis
 - obavezno standard

Zatvaranje peteročlanog prstena



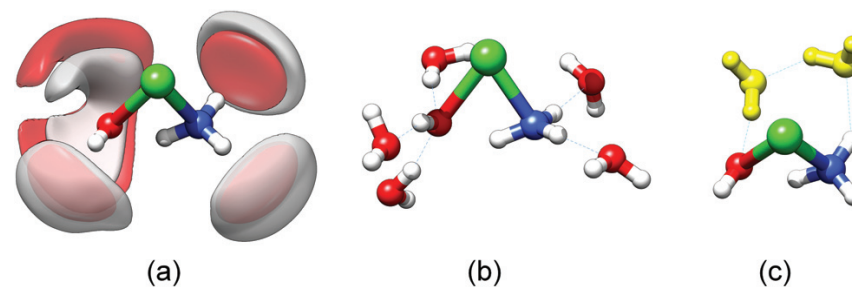
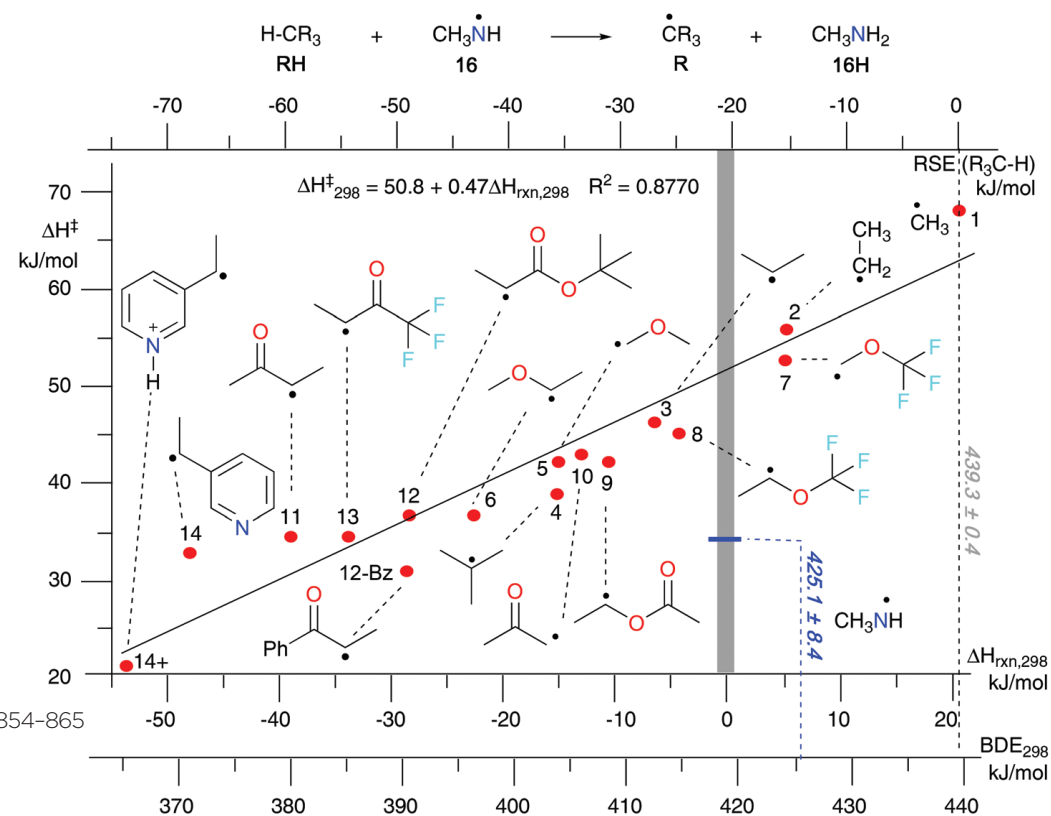
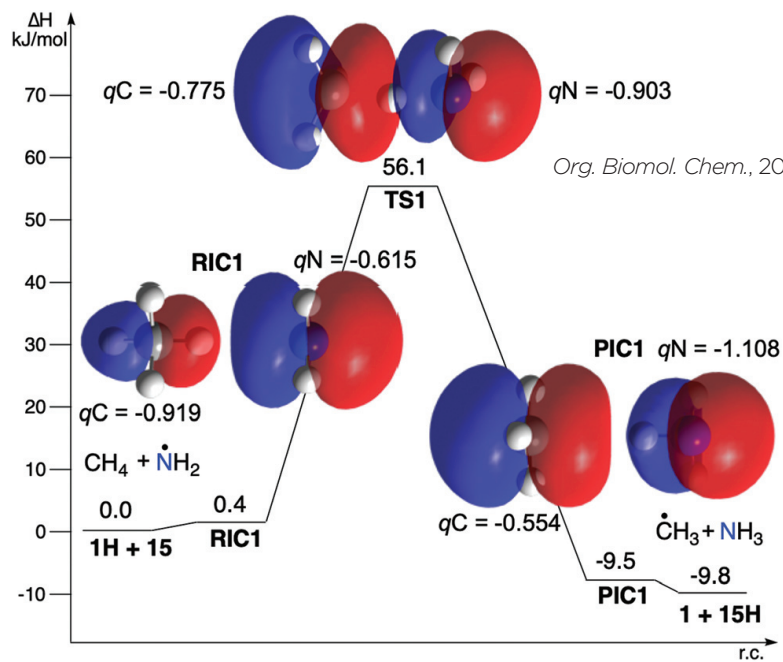
- S_N2 reakcija
- uloga baze
- uloga otapala
- stabilnost produkata
- teorijska razina
- provjera u odnosu na eksperimentalne podatke



Prikaz rezultata


Table 3 RSE, $\Delta H_{\text{rxn},298}$, and ΔH_{298}^\ddagger values for all systems shown in Chart 3

Species	RSE (N-rad)	RSE (C-rad)	BDE (N-H) _{calc.}	BDE (C-H) _{calc.}	$\Delta H_{\text{rxn},298}$	ΔH_{298}^\ddagger
L1	-33.8	-71.0	416.3	368.3	-47.9	45.7
L1+	-40.5	-89.4	409.6	349.9	-59.6	46.0
L2	-58.4	-71.1	391.7	368.3	-23.4	54.2
L2+	-71.7	-89.0	378.4	350.3	-28.0	54.0
L3	-26.1	-66.7	424.0	372.7	-43.0	30.1
L4	-2.0	-63.5	448.1	375.8	-82.9	18.5
L5	2.0	-75.2	452.0	364.1	-87.2	16.2
L6	15.4	-73.7	465.5	365.6	-99.3	4.8



Org. Biomol. Chem., 2015, **13**, 11740–11752



LIGHT  RING



Hvala



SW.PHARMA.HR

PART OF FARMINOVA PROJECT

